

Supporting Information

Table S1. Content of bioactive compounds for different varieties and extraction technique.

Bioactive compound	Content (reference)	Variety	Extraction technique
Total phenolic	1364.5 mg GAE/g dw [1] 114.9 mg GAE/g dw [1] 1043.3 mg GAE/g dw [1] 550.1 to 787.5 mg GAE/g dw [1] 451.9 mg GAE/g dw [1] 15.5 mg GAE/g coat [2] 5.46 mg GAE/g coat [2] 4.69 mg GAE/g dw/ 29.37 mg GAE/g coat [3] 5.77 mg GAE/g dw/ 39.98 mg GAE/g coat [3] 1.86 mg GAE/g d/ 14.69 mg GAE/g coat [3] 1.74 mg GAE/g dw/ 20.35 mg GAE/g coat [3]	rojo blanco pinto colorado negro (different varieties) barreton negro Pinto Saltillo Negro Small Red Negro Small Red	CSE CSE CSE CSE CSE CSE CSE MAE MAE CSE
	352.14 to 4664.92 mg GAE/100 mL [4] 4871 mg GAE/100 g DW [5] 165.524 µg GAE/gr (DW) [6] 997.774 µg GAE/gr (DW) [6] 1150.474 µg GAE/gr (DW) [6] 1291.62 µg GAE/gr (DW) [6] 20.49 to 31.31 mg GAE/g [7]	Black Soybean Pinto Kidney Volturara Zampognaro Screziato impalato Nero di Caposele Mung	MAE CSE CSE CSE CSE CSE UAE

	0.59 to 29.58 mg GAE/g [8]	Mung	CSE
	0.40 to 54.45 mg GAE/g [8]	Adzuki	CSE
Flavonoid			
	19.9 mg QE/g dw [1]	rojo	CSE
	1.1 mg QE/g dw [1]	blanco	CSE
	5.7 mg QE/g dw [1]	pinto colorado	CSE
	5.6 to 18.6 mg QE/g dw [1]	negro (different varietys)	CSE
	1.2 mg QE/g dw [1]	barreton	CSE
	0.083 mg RUE/g coat [2]	Pinto Saltillo	CSE
	1116.94 to 12310.78 mg QE/L [4]	Black Soybean	MAE
	4477 mg CE/100 g DW [5]	Pinto	CSE
	3529 mg CE/100 g DW [5]	small speckled kidney	CSE
	51.511 µg (QE)/gr (DW) [6]	Volturara	CSE
	562378 µg (QE)/gr (DW) [6]	Zampognaro	CSE
	703.336 µg (QE)/gr (DW) [6]	Screziato impalato	CSE
	542.337 µg (QE)/gr (DW) [6]	Nero di Caposele	CSE
	0.39 to 0.71 mg CE/g [6]	Mung	UAE
	0.40 to 22.08 mg CE/g [6]	Mung	CSE
	0.38 to 50.78 mg CE/g [6]	Adzuki	CSE
Anthocyanin	0.59 mg cyanidin 3-glucoside/g seed coat [1]	rojo	CSE
	0.69 mg cyanidin 3-glucoside/g seed coat [1]	pinto colorado	CSE
	2.82 to 9.42 mg cyanidin 3- glucoside/g seed coat [1]	negro (different varietys)	CSE

0.10 mg cyaniding 3-glucoside/g seed coat [1]	barreton	CSE
206.0 to 250.0 mg/100 g coat [2]	negro (different varietys)	CSE
3.0 mg/100 g coat [2]	FM-Eugenia	CSE
876.68 to 5891.23 mg/L [4]	Black Soybean	MAE
5.37 mg CE/g DW [5]	Kidney	CSE
28.0 to 158 mg CE/g DW [5]	Pinto	CSE
10.706 µg (C3GE)/gr (DW) [6]	Zampognaro	CSE
7.255 µg (C3GE)/gr (DW) [6]	Screziato impalato	CSE
63.278 µg (C3GE)/gr (DW) [6]	Nero di Caposele	CSE

Tanin	3.40 mg CAE/g dw [1]	rojo	CSE
	0.53 mg CAE/g dw [1]	blanco	CSE
	1.42 mg CAE/g dw [1]	pinto colorado	CSE
	1.62 to 5.57 mg CAE/g dw [1]	negro (different varietys)	CSE
	0.80 mg CAE/g dw [1]	barreton	CSE
	60.6 mg GAE/g coat [2]	Pinto Saltillo	CSE
	6.81 to 52.64 mg CE/g [8]	Mung	CSE
	3.59 to 97.42 mg CE/g [8]	Adzuki	CSE

Table S2. Antiplatelet activity of 25 varieties of *P. vulgaris* L.

Extracts	TRAP-6 10µM			ADP 4µM		
	PA (%)	AUC	Slope	PA (%)	AUC	Slope
Arauco	MAE	26,8 ± 1,2 ***	41,8 ± 3,4	47,8 ± 2,0	71,3 ± 1,5 *	286 ± 10,6
	UAE	49,1 ± 3,5 ***	296,2 ± 1,4	27,1 ± 3,4	71 ± 2,5 **	295,4 ± 1,1
Blanco Español	MAE	23,8 ± 2,6 ***	133,4 ± 28	53,8 ± 5,4	75,7 ± 2,2 ns	295,2 ± 1,1
	UAE	36,2 ± 3,0 ***	182,4 ± 28,8	46,8 ± 6,3	71,5 ± 3,0 **	295,6 ± 0,8
Bombero	MAE	77,5 ± 3,1 ns	284,2 ± 2,7	100,8 ± 6,9	92,3 ± 0,8 ns	309,8 ± 5,1
	UAE	17,8 ± 2,4 ***	128,8 ± 19,2	52,2 ± 3,9	71,5 ± 2,4 **	286,4 ± 16,7
Cabrita	MAE	36,3 ± 3,1 ***	297,4 ± 0,5	13,4 ± 2,2	84,7 ± 0,8 ns	295,6 ± 0,9
	UAE	65 ± 3,2 *	292 ± 1,8	39,1 ± 3,6	87,9 ± 1,4 ns	299,6 ± 0,1
Cimarrón	MAE	79,1 ± 3,4 ns	314,2 ± 15	83,4 ± 8,0	73,8 ± 3,8 *	270 ± 7,4
	UAE	78,6 ± 2,4 ns	278,2 ± 9,4	57,1 ± 10,9	84,2 ± 1,3 ns	298,2 ± 0,8
Cisne	MAE	60,1 ± 4,1 **	289,4 ± 3,4	77,4 ± 2,0	80,8 ± 2,5 ns	294,8 ± 0,1
	UAE	72,4 ± 3,7 ns	291 ± 1,1	32,9 ± 4,5	86,5 ± 1,2 ns	296,8 ± 0,3

	MAE	$7,9 \pm 0,4$ ***	$83,6 \pm 23,3$	$31,6 \pm 1,4$	$73,8 \pm 1,9$ *	$222 \pm 21,4$	$106,9 \pm 12,2$
Coscorrón	UAE	$54,9 \pm 1,0$ ***	$292,6 \pm 1,4$	$46,9 \pm 12,1$	$84,8 \pm 0,8$ ns	$296,2 \pm 1,1$	$58 \pm 1,9$
	MAE	$21,3 \pm 1,1$ ***	$134,8 \pm 28,8$	$47,5 \pm 4,3$	$82,1 \pm 1,8$ ns	$298,4 \pm 0,1$	$52 \pm 6,3$
Frutilla	UAE	$50,3 \pm 1,7$ ***	$287,4 \pm 1,6$	$48,5 \pm 2,7$	$85,4 \pm 0,6$ ns	$295 \pm 1,3$	$97,5 \pm 3,8$
	MAE	$17,1 \pm 2,7$ ***	$132,2 \pm 28,5$	$45,6 \pm 4,9$	$74,1 \pm 1,2$ *	$283 \pm 4,4$	$41,5 \pm 8,6$
Ganso	UAE	$69,8 \pm 3,9$ ns	$276,6 \pm 8,6$	$23,1 \pm 2,5$	$82,3 \pm 0,7$ ns	$287,6 \pm 2,3$	$38,5 \pm 0,8$
	MAE	$85,8 \pm 0,7$ ns	$254 \pm 17,9$	$126,3 \pm 7,9$	$81,8 \pm 1,2$ ns	$300 \pm 1,8$	$100,4 \pm 9,8$
Hallado Alemán	UAE	$11 \pm 0,9$ ***	$31,6 \pm 0,8$	$40,1 \pm 2,4$	$73,3 \pm 2,9$ ns	$290,8 \pm 2,2$	$89,8 \pm 7,7$
	MAE	$86,8 \pm 0,8$ ns	$250,6 \pm 22,5$	$78,4 \pm 4,1$	$90,8 \pm 0,4$ ns	$314,4 \pm 6,9$	$62,2 \pm 1,1$
Lunatus	UAE	$7,8 \pm 1,4$ ***	$28,6 \pm 1,3$	$32,5 \pm 3,4$	$72,6 \pm 1,6$ **	$276,6 \pm 3,9$	$103,7 \pm 7,6$
	MAE	$55,2 \pm 1,3$ ***	$297,4 \pm 0,4$	$29,3 \pm 2,1$	$79,8 \pm 1,4$ ns	$297,6 \pm 0,5$	$33 \pm 1,0$
Manteca	UAE	$78,5 \pm 2,9$ ns	$298 \pm 0,6$	$39 \pm 1,9$	$87,9 \pm 1,2$ ns	$295,6 \pm 0,6$	$46,6 \pm 1,0$
	MAE	$22,3 \pm 1,8$ ***	$34,8 \pm 5,9$	$45,9 \pm 5,8$	$76,7 \pm 2,4$ ns	$327,8 \pm 13$	$77,2 \pm 4,9$
Mantequilla	UAE	$56,3 \pm 1,3$ ***	300 ± 0	$26,3 \pm 2,0$	$76,4 \pm 1,8$ ns	$300,8 \pm 6,4$	$57,3 \pm 1,8$
	MAE	$7,8 \pm 1,2$ ***	$34,8 \pm 1,4$	$35,6 \pm 3,2$	$73,6 \pm 2,0$ *	$284,8 \pm 5,1$	$88,1 \pm 6,6$
Negro	UAE	$25,3 \pm 1,4$ ***	$329,4 \pm 76,9$	$70,8 \pm 2,6$	$84 \pm 0,9$ ns	$296,4 \pm 0,8$	$144,5 \pm 3,1$

Negro Arauco	MAE	$28,5 \pm 2,8$ ***	$83 \pm 16,3$	$63,8 \pm 2,9$	$72,8 \pm 2,0$ *	$297,6 \pm 0,8$	$84,6 \pm 8,0$
	UAE	$47 \pm 1,7$ ***	$198,2 \pm 0,2$	$21,9 \pm 1,5$	$78 \pm 1,4$ ns	$291,8 \pm 1,4$	$47,1 \pm 5,6$
Pajarito	MAE	$56,7 \pm 0,9$ ***	$298,6 \pm 0,3$	$21,2 \pm 1,8$	$84,1 \pm 1,1$ ns	$298 \pm 0,5$	$53,2 \pm 3,2$
	UAE	$78 \pm 2,8$ ns	$294 \pm 1,9$	$56,8 \pm 4,6$	$87,7 \pm 1,3$ ns	$297,6 \pm 0,3$	$60,3 \pm 4,8$
Palo	MAE	$85,4 \pm 0,3$ ns	$417 \pm 15,5$	$91,6 \pm 4,5$	$81 \pm 3,3$ ns	$382,8 \pm 19,4$	$59,2 \pm 2,4$
	UAE	$23,5 \pm 1,5$ ***	249 ± 13	$28,2 \pm 3,2$	$71,1 \pm 3,4$ **	$299,2 \pm 0,2$	$60,6 \pm 1,6$
Pallar Manchado	MAE	$20,9 \pm 1,0$ ***	$29,2 \pm 0,6$	$54,4 \pm 5,2$	$88 \pm 1,3$ ns	$295,4 \pm 0,9$	$106,6 \pm 2,9$
	UAE	$18,7 \pm 1,1$ ***	$298,2 \pm 0,4$	$21 \pm 1,3$	$74 \pm 0,6$ *	$296 \pm 1,0$	$73,6 \pm 2,5$
Pallar Morado	MAE	$31,9 \pm 0,6$ ***	$70 \pm 6,6$	$66,6 \pm 3,4$	$73,5 \pm 2,6$ *	$290,8 \pm 0,9$	$101 \pm 2,0$
	UAE	$20,8 \pm 1,0$ ***	$235,4 \pm 25,8$	$30 \pm 3,3$	$68 \pm 1,6$ ***	$296,2 \pm 0,8$	$76,1 \pm 1,7$
Peumo	MAE	$46,1 \pm 6,2$ ***	$150,4 \pm 33,6$	$70,7 \pm 4,0$	$81,8 \pm 1,9$ ns	$305,6 \pm 4,7$	$110,6 \pm 7,8$
	UAE	$81,7 \pm 1,7$ ns	$328,4 \pm 25,9$	$45,9 \pm 8,3$	$82,9 \pm 0,5$ ns	$339 \pm 15,9$	$50,2 \pm 2,4$
Rojo	MAE	$35,5 \pm 2,7$ ***	$135,6 \pm 27,8$	$70,1 \pm 3,5$	$75 \pm 2,0$ *	$288,2 \pm 2,8$	$110,1 \pm 3,5$
	UAE	$57,1 \pm 7,5$ ***	$299,8 \pm 12,6$	$88,8 \pm 4,1$	$69 \pm 7,0$ ***	$287 \pm 9,1$	$106 \pm 8,9$
Sapito	MAE	$69,6 \pm 4,7$ *	385 ± 19	99 ± 15	$69,0 \pm 4,8$ *	308 ± 12	72 ± 11
	UAE	$79,4 \pm 3,0$ ns	$297,6 \pm 0,7$	$50,9 \pm 5,7$	$87,8 \pm 0,9$ ns	$298 \pm 0,4$	$44,3 \pm 3,1$

Soja	MAE	$22,4 \pm 2,8$ ***	$98,4 \pm 20,3$	$53,7 \pm 3,2$	$75,2 \pm 2,2$ *	$312,6 \pm 6,9$	$93 \pm 4,6$
	UAE	$28,1 \pm 2,9$ ***	$28,4 \pm 1,1$	$71 \pm 4,7$	$74 \pm 1,9$ *	$255,2 \pm 13,5$	$62 \pm 1,9$
Torcaza	MAE	$27,5 \pm 2,0$ ***	$116,2 \pm 22,6$	$54,5 \pm 3,0$	$78,7 \pm 3,4$ ns	$285,2 \pm 12,4$	$50,5 \pm 2,5$
	UAE	$48 \pm 0,7$ ***	$253 \pm 9,6$	$44,5 \pm 3,1$	$66,2 \pm 3,9$ ***	$259 \pm 11,6$	$52,7 \pm 3,8$
Tórtola	MAE	$12 \pm 1,3$ ***	$48,2 \pm 7,4$	$38,1 \pm 2,3$	$78,2 \pm 1,7$ ns	$241,6 \pm 23,3$	$72,1 \pm 6,8$
	UAE	$75,6 \pm 2,9$ ns	$298,6 \pm 0,5$	$35,7 \pm 3,8$	$80,8 \pm 1,2$ ns	$294 \pm 1,0$	$40,2 \pm 3,1$
Control		$80,5 \pm 1,9$	$301,6 \pm 4,5$	$35,7 \pm 3,8$	$85,1 \pm 1,2$	$299 \pm 3,0$	$49,2 \pm 5,1$

Data are expressed as mean \pm SD, n=5, and analyzed using one-way ANOVA. Post hoc analyzes were performed using the Dunnet test, * p < 0.05, ** p < 0.01 and *** p < 0.001 denotes a statistically significant difference compared to vehicle; ns: non-statistical difference compared to vehicle. AUC: Area under the curve; MAE: Microwave-assisted extraction; PA: Percentage of platelet aggregation; UAE: Ultrasound-assisted extraction.

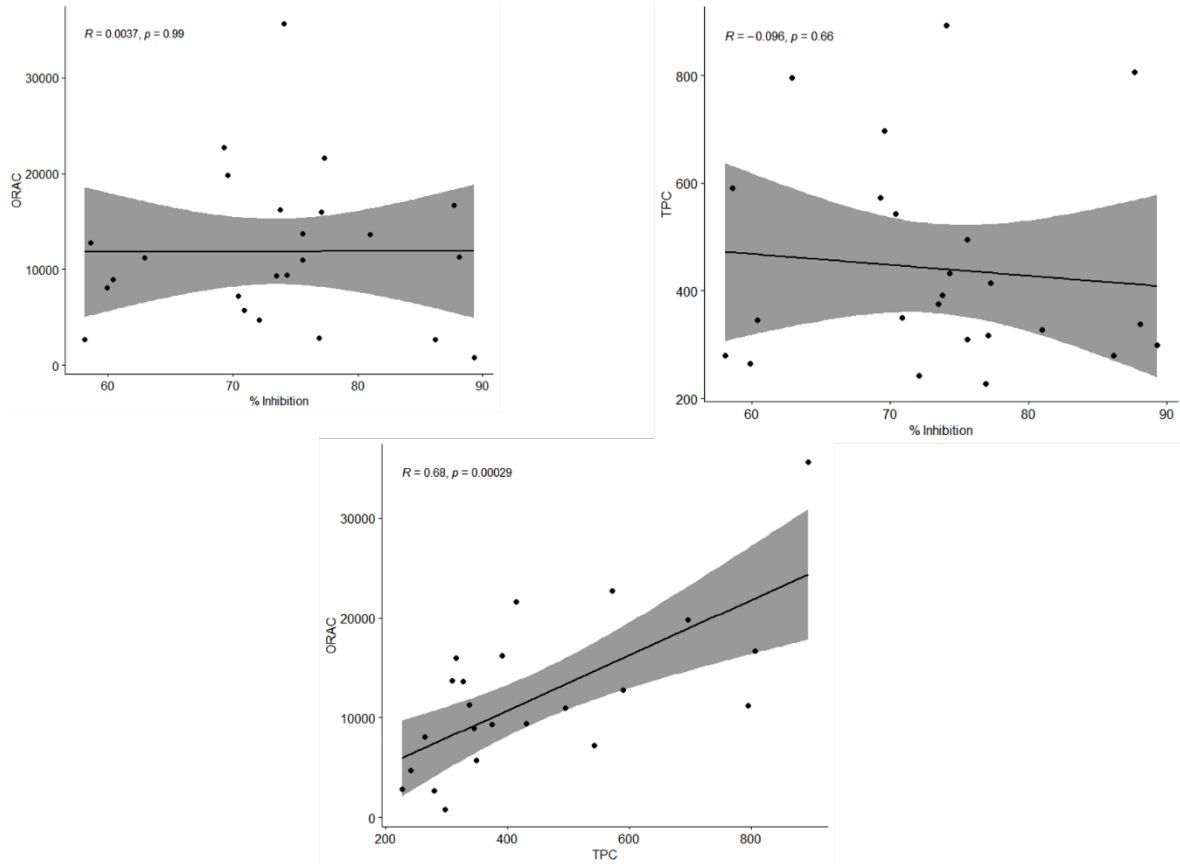


Figure S1. Correlation between phenol content, antioxidant activity, and antiplatelet activity of extracts *P. vulgaris* L.

References

1. Alcázar-Valle, M., et al., *Bioactive compounds, antioxidant activity, and antinutritional content of legumes: a comparison between four phaseolus species*. 2020. **25**(15): p. 3528.
2. Mojica, L., et al., *Bean cultivars (*Phaseolus vulgaris* L.) have similar high antioxidant capacity, in vitro inhibition of α -amylase and α -glucosidase while diverse phenolic composition and concentration*. 2015. **69**: p. 38-48.
3. Sutivisedsak, N., et al., *Microwave-assisted extraction of phenolics from bean (*Phaseolus vulgaris* L.)*. 2010. **43**(2): p. 516-519.
4. Kumar, M., et al., *Evaluation of enzyme and microwave-assisted conditions on extraction of anthocyanins and total phenolics from black soybean (*Glycine max* L.) seed coat*. 2019. **135**: p. 1070-1081.
5. Yang, Q.Q., et al., *Polyphenols in common beans (*Phaseolus vulgaris* L.): Chemistry, analysis, and factors affecting composition*. Comprehensive Reviews in Food Science and Food Safety, 2018. **17**(6): p. 1518-1539.

6. Ombra, M.N., et al., *Phenolic composition and antioxidant and antiproliferative activities of the extracts of twelve common bean (*Phaseolus vulgaris* L.) endemic ecotypes of Southern Italy before and after cooking.* 2016. **2016**.
7. Singh, B., et al., *Ultrasound assisted extraction of polyphenols and their distribution in whole mung bean, hull and cotyledon.* 2017. **54**(4): p. 921-932.
8. Luo, J., et al., *Phytochemical distribution in hull and cotyledon of adzuki bean (*Vigna angularis* L.) and mung bean (*Vigna radiate* L.), and their contribution to antioxidant, anti-inflammatory and anti-diabetic activities.* 2016. **201**: p. 350-360.